

**75.12/95.04 ANÁLISIS NUMÉRICO I**  
**95.10 MODELACIÓN NUMÉRICA**  
**95.13 MÉTODOS MATEMÁTICOS Y NUMÉRICOS**  
**INTERPOLACIÓN - PARTE 2**

Ing. Rodolfo A. Schwarz

Facultad de Ingeniería – Universidad de Buenos Aires

Año 2022

# Índice

- 1 INTERPOLACIÓN POLINOMIAL
  - Método de Hermite
  - Método de Hermite Segmentado
  - Error y convergencia
- 2 INTERPOLACIÓN TRIGONOMÉTRICA
  - Aproximación con polinomios trigonométricos
  - Transformada rápida de Fourier
- 3 BIBLIOGRAFÍA

## Método de Hermite

- Supongamos ahora que tenemos la siguiente serie de datos:

$i$	$x_i$	$y_i$	$y'_i$
0	$x_0$	$y_0$	$y'_0$
1	$x_1$	$y_1$	$y'_1$
2	$x_2$	$y_2$	$y'_2$
3	$x_3$	$y_3$	$y'_3$

- Nuevamente, esta tabla puede representar los resultados de mediciones o de cálculos.
- Al igual que en los casos anteriores, los datos se pueden usar para representar en forma discreta una función.

## Método de Hermite

- Como antes, podemos utilizar un polinomio para interpolar y generar un sistema de ecuaciones lineales:

$$a_0 + a_1 x_0 + a_2 x_0^2 + \dots + a_m x_0^m = y_0,$$

.....

$$a_0 + a_1 x_n + a_2 x_n^2 + \dots + a_m x_n^m = y_n,$$

$$a_1 + a_2 2 x_0 + \dots + a_m m x_0^{m-1} = y'_0,$$

.....

$$a_1 + a_2 2 x_n + \dots + a_m m x_n^{m-1} = y'_n.$$

- Generamos  $2(n + 1)$  ecuaciones, de modo tal que el polinomio interpolante será de grado  $m = 2(n + 1) - 1 = 2n + 1$ .

## Método de Hermite

- Como hicimos antes, lo podemos expresar en forma matricial:

$$\begin{bmatrix}
 1 & x_0 & x_0^2 & \dots & \dots & x_0^{2n+1} \\
 \vdots & \vdots & \vdots & \vdots & \vdots & \vdots \\
 1 & x_n & x_n^2 & \dots & \dots & x_n^{2n+1} \\
 0 & 1 & 2x_0 & 3x_0^2 & \dots & (2n+1)x_0^{2n} \\
 \vdots & \vdots & \vdots & \vdots & \vdots & \vdots \\
 0 & 1 & 2x_n & 3x_n^2 & \dots & (2n+1)x_n^{2n}
 \end{bmatrix}
 \begin{bmatrix}
 a_0 \\
 a_1 \\
 \vdots \\
 \vdots \\
 a_{2n} \\
 a_{2n+1}
 \end{bmatrix}
 =
 \begin{bmatrix}
 y_0 \\
 \vdots \\
 y_n \\
 y'_0 \\
 \vdots \\
 y'_n
 \end{bmatrix}$$

- Tenemos otra vez un *Sistema de Ecuaciones Lineales*.
- Esto nos facilita resolver el problema.
- Como hemos visto que para interpolar los datos resulta más fácil utilizar algún algoritmo que resolver el sistema en forma explícita, generemos un nuevo algoritmo para este caso.

## Método de Hermite

- Vamos a definir nuestro polinomio interpolante de esta forma:

$$H_{2n+1}(x) = \sum_{i=0}^n y_i H_{n,i}(x) + \sum_{i=0}^n y'_i \hat{H}_{n,i}(x),$$

que debe pasar por  $y_i$  y por  $y'_i$ .

- Esta forma es similar al *Método de Lagrange*.
- Entonces, ¿por qué no usar un algoritmo que incluya los polinomios de Lagrange ( $L_{n,i}(x)$ )?
- Así, definamos lo siguiente:

$$H_{n,i}(x) = [1 - 2(x - x_i) L'_{n,i}(x_i)] \cdot (L_{n,i}(x))^2,$$

$$\hat{H}_{n,i}(x) = (x - x_i) \cdot (L_{n,i}(x))^2.$$

## Método de Hermite

- El polinomio  $H_{n,i}(x)$  debe cumplir con las siguientes condiciones para que  $H_{2n+1}(x)$  pase por los  $y_i$ :

- Para  $x = x_i$ :

$$H_{n,i}(x_i) = 1 \rightarrow [1 - 2(x_i - x_i) L'_{n,i}(x_i)] \cdot (L_{n,i}(x_i))^2 = 1 \cdot 1^2 = 1.$$

- Para  $x = x_j$  y  $j \neq i$ :

$$H_{n,i}(x_j) = 0 \rightarrow [1 - 2(x_j - x_i) L'_{n,i}(x_i)] \cdot (L_{n,i}(x_j))^2 = (1 - 2h_j L'_{n,i}(x_i)) \cdot 0 = 0.$$

- Análogamente, el polinomio  $\hat{H}_{n,i}(x)$  debe cumplir con las siguientes condiciones:

- Para  $x = x_i$ :

$$\hat{H}_{n,i}(x_i) = 0 \rightarrow (x_i - x_i) \cdot (L_{n,i}(x_i))^2 = 0 \cdot 1^2 = 0.$$

- Para  $x = x_j$  y  $j \neq i$ :

$$\hat{H}_{n,i}(x_j) = 0 \rightarrow (x_j - x_i) \cdot (L_{n,i}(x_j))^2 = h_j \cdot 0 = 0.$$

## Método de Hermite

- El polinomio  $H'_{n,i}(x)$  debe cumplir con las siguientes condiciones para que  $H'_{2n+1}(x)$  pase por los  $y'_i$ :

- Para  $x = x_i$ :

$$H'_{n,i}(x_i) = 0 \rightarrow -2 L'_{n,i}(x_i) (L_{n,i}(x_i))^2 + [1 - 2(x_i - x_i) L'_{n,i}(x_i)] 2 L_{n,i}(x_i) L'_{n,i}(x_i) = 0.$$

- Para  $x = x_j$  y  $j \neq i$ :

$$H'_{n,i}(x_j) = 0 \rightarrow -2 L'_{n,i}(x_j) (L_{n,i}(x_j))^2 + [1 - 2(x_j - x_i) L'_{n,i}(x_j)] 2 L_{n,i}(x_j) L'_{n,i}(x_j) = 0.$$

- Análogamente, el polinomio  $\hat{H}'_{n,i}(x)$  debe cumplir con las siguientes condiciones:

- Para  $x = x_i$ :

$$\hat{H}'_{n,i}(x_i) = 1 \rightarrow (L_{n,i}(x_i))^2 + (x_i - x_i) L_{n,i}(x_i) L'_{n,i}(x_i) = 1.$$

- Para  $x = x_j$  y  $j \neq i$ :

$$\hat{H}'_{n,i}(x_j) = 0 \rightarrow (L_{n,i}(x_j))^2 + (x_j - x_i) L_{n,i}(x_j) L'_{n,i}(x_j) = 0.$$



## Método de Hermite

- Con estas condiciones, para un  $x_j$  con  $j$  entre 0 y  $n$ :

$$H_{2n+1}(x_j) = \sum_{i=0}^n y_i H_{n,i}(x_j) + \sum_{i=0}^n y'_i \hat{H}_{n,i}(x_j) = y_j,$$

$$H'_{2n+1}(x_j) = \sum_{i=0}^n y_i H'_{n,i}(x_j) + \sum_{i=0}^n y'_i \hat{H}'_{n,i}(x_j) = y'_j.$$

- En consecuencia, este algoritmo cumple con la condición de pasar por los puntos que son datos. Este algoritmo se conoce como **Método de Hermite**.
- Al igual que el **Método de Lagrange**, el orden de los puntos no incide en la interpolación, y es posible que en el caso de puntos distribuidos uniformemente ( $x_{i+1} - x_i = \text{cte}$ ) se produzca el *Fenómeno de Runge*.

## Método de Hermite

- Otra forma de obtener el **Método de Hermite** es aplicando una adaptación del **Método de Newton**.
- Para ello, armemos una nueva tabla con los datos del problema, creando una nueva variable  $z_j$ , cuyos valores cumplirán la siguiente condición:

$$\underbrace{z_{2i}}_{z_j} = \underbrace{z_{2i+1}}_{z_{j+1}} = x_i,$$

con

$$i = 0, 1, \dots, n \quad \wedge \quad j = 0, 1, \dots, 2n + 1.$$

- En consecuencia, también tenemos que:

$$\underbrace{f(z_{2i})}_{f(z_j)} = \underbrace{f(z_{2i+1})}_{f(z_{j+1})} = f(x_i).$$

## Método de Hermite

- Para esta forma debemos considerar que:

$$F(z_{2i}, z_{2i+1}) = \frac{f(z_{2i+1}) - f(z_{2i})}{z_{2i+1} - z_{2i}} = \frac{f(x_i) - f(x_i)}{x_i - x_i} = f'(x_i),$$

que

$$F(z_{2i-1}, z_{2i}) = \frac{f(z_{2i}) - f(z_{2i-1})}{z_{2i} - z_{2i-1}} = \frac{f(x_i) - f(x_{i-1})}{x_i - x_{i-1}} = F(x_{i-1}, x_i).$$

- También que:

$$F(z_{2i}, z_{2i+1}, z_{2i+2}) = \frac{F(z_{2i+1}, z_{2i+2}) - F(z_{2i}, z_{2i+1})}{z_{2i+2} - z_{2i}} = \frac{F(x_i, x_{i+1}) - f'(x_i)}{x_{i+1} - x_i},$$

y que

$$F(z_{2i-1}, z_{2i}, z_{2i+1}) = \frac{F(z_{2i}, z_{2i+1}) - F(z_{2i-1}, z_{2i})}{z_{2i+1} - z_{2i-1}} = \frac{f'(x_i) - F(x_{i-1}, x_i)}{x_i - x_{i-1}}.$$

## Método de Hermite

- Con estas consideraciones podemos armar un nuevo polinomio interpolante:

$$P_{2n+1}(z) = F(z_0) + F(z_0, z_1)(z - z_0) + F(z_0, z_1, z_2)(z - z_0)(z - z_1) + \dots$$

- Si reemplazamos  $z$  por  $x$  nos queda:

$$P_{2n+1}(x) = F(x_0) + F(x_0, x_0)(x - x_0) + F(x_0, x_0, x_1)(x - x_0)(x - x_0) + \dots,$$

que resulta ser

$$P_{2n+1}(x) = f(x_0) + f'(x_0)(x - x_0) + \frac{F(x_0, x_1) - f'(x_0)}{x_1 - x_0}(x - x_0)^2 + \dots$$

- Lo mismo podemos hacer si ordenamos en forma descendente los datos.

## Método de Hermite Segmentado

- Al igual que con los **Métodos de Lagrange** y de **Newton**, polinomios de alto grado pueden generar distorsiones en los extremos.
- Una forma de evitar eso es aplicar el **Método de Hermite Segmentado**.
- Entre dos puntos sucesivos contamos con cuatro datos:  $y_i$ ,  $y'_i$ ,  $y_{i+1}$ ,  $y'_{i+1}$ . Con eso podemos generar una interpolación entre esos puntos sucesivos con una parábola cúbica.
- Para ello planteamos:

$$H_{3,i}(x) = \sum_{j=0}^1 y_{i+j} H_{1,j}(x) + \sum_{j=0}^1 y'_{i+j} \hat{H}_{1,j}(x),$$

$$H_{1,j}(x) = [1 - 2(x - x_{i+j})L'_{1,j}(x_{i+j})](L_{1,j}(x))^2,$$

$$\hat{H}_{1,j}(x) = (x - x_{i+j})(L_{1,j}(x))^2.$$

## Método de Hermite Segmentado

- Esos polinomios son:

$$H_{1,0}(x) = [1 - 2(x - x_i)L'_{1,0}(x_i)](L_{1,0}(x))^2,$$

$$H_{1,1}(x) = [1 - 2(x - x_{i+1})L'_{1,1}(x_{i+1})](L_{1,1}(x))^2,$$

$$\hat{H}_{1,0}(x) = (x - x_i)(L_{1,0}(x))^2,$$

$$\hat{H}_{1,1}(x) = (x - x_{i+1})(L_{1,1}(x))^2.$$

- Generamos  $n$  segmentos con parábolas cúbicas, que pasan por  $y_i$ ,  $y'_i$ ,  $y_{i+1}$  y  $y'_{i+1}$ .
- Al igual que para los **Trazadores Cúbicos**, obtenemos un conjunto de curvas entre  $x_0$  y  $x_n$ .

## Error y convergencia

- Contamos con varias formas de interpolar con polinomios un conjunto de datos.
- ¿Qué error se comete al aplicarlos?
- Lo más probable: no conocemos la función que vincula a los  $x_i$  e  $y_i$  (y tampoco a  $y_i'$ ).
- El error que estimemos será teórico.
- Para determinar este error, supongamos por un momento que conocemos la función  $f(x)$ .
- Estimaremos el error cuando interpolamos por **Lagrange (Newton)** y por **Hermite**.
- Y a partir de estos errores, estimaremos el de **Trazadores Cúbicos**.

## Error y convergencia

- Para el caso del **Método de Lagrange** tenemos:

$$E(x) = f(x) - P_n(x) = \frac{f^{(n+1)}(\xi)}{(n+1)!} \prod_{i=0}^n (x - x_i),$$

con  $x = x_0, x_1, \dots, x_n \in (a, b)$ ,  $\xi \in (a, b)$  y  $f(x) \in C^{n+1}(a, b)$ .

- Para el caso del **Método de Hermite** tenemos:

$$E(x) = f(x) - H_{2n+1}(x) = \frac{f^{(2(n+1))}(\xi)}{[2(n+1)]!} \prod_{i=0}^n (x - x_i)^2,$$

con  $x = x_0, x_1, \dots, x_n \in (a, b)$ ,  $\xi \in (a, b)$  y  $f(x) \in C^{2(n+1)}(a, b)$ .



## Error y convergencia

- Para **Trazadores Cúbicos** («Splines») podemos estimar el error con la siguiente expresión:

$$E(x) = f(x) - S(x) = \frac{5 f^{(iv)}(\xi)}{384} \max(h_i)^4,$$

con  $x = x_0, x_1, \dots, x_n \in (a, b)$ ,  $\xi \in (a, b)$ ,  $h_i = x_{i+1} - x_i$  y  $f(x) \in C^4(a, b)$ . En este caso,  $S(x)$  representa al conjunto de segmentos  $S_i(x)$ .

- Para el **Método de Hermite Segmentado** tenemos:

$$E(x) = f(x) - H_3(x) = \frac{f^{(iv)}(\xi)}{384} \max(h_i)^4,$$

con  $x = x_0, x_1, \dots, x_n \in (a, b)$ ,  $\xi \in (a, b)$ ,  $h_i = x_{i+1} - x_i$  y  $f(x) \in C^4(a, b)$ . En este caso,  $H(x)$  representa al conjunto de segmentos  $H_{3,i}(x)$ .

## Interpolación trigonométrica

- Hemos visto varias formas de obtener funciones mediante polinomios a partir de disponer de datos discretos.
- Analizamos los casos con conjuntos del tipo  $(x_j, y_j)$ , pares de puntos unívocamente relacionados. También cuando el conjunto era  $(x_j, y_j, y'_j)$ .
- En todos los casos, la función debe pasar por los puntos, es decir, se debe cumplir que  $P(x_j) = y_j$ , entonces el modelo para obtener la función es la **Interpolación**.
- En ambos casos, es común el uso de polinomios tradicionales:

$$P(x) = a_0 + a_1 x + a_2 x^2 + \cdots + a_n x^n = \sum_{j=0}^n a_j x^j. \quad (1)$$

## Interpolación trigonométrica

- No siempre la interpolación polinómica tradicional es el mejor modelo para aproximar una función.
- Esto queda evidente cuando los datos discretos muestran cierta periodicidad.
- Para este tipo de casos, un modelo muy usado es el de los *polinomios trigonométricos* como el siguiente:

$$H(x) = a_0 + a_1 \operatorname{sen}(x) + a_2 \operatorname{sen}(2x) + \cdots + a_n \operatorname{sen}(nx) = a_0 + \sum_{j=1}^n a_j \operatorname{sen}(j x), \quad (2)$$

donde las incógnitas son los coeficientes  $a_j$  (incluye a  $a_0$ , que puede asumirse que afecta a  $\operatorname{sen}(j x)$  cuando  $j = 0$ ).

## Aproximación con polinomios trigonométricos

- Una forma más extendida es usar un esquema derivado de la serie de Fourier:

$$\phi_0(x) = \frac{1}{2},$$

$$\phi_k(x) = \cos kx$$

$$\text{con } k = 1, 2, \dots, n,$$

$$\phi_{n+k}(x) = \sen kx$$

$$\text{con } k = 1, 2, \dots, n - 1.$$

- Si se aplican en el intervalo  $[-\pi, \pi]$ , las funciones antes vistas son ortogonales.
- Este esquema se usa mucho para la aproximación de funciones.
- Un modelo con un esquema de funciones ortogonales, pero con polinomios, es usado para obtener el modelo de *Cuadratura de Gauss-Legendre*, al usar los *polinomios de Legendre* que son ortogonales en el intervalo  $[-1; 1]$ .

## Aproximación con polinomios trigonométricos

- En este caso, la aproximación de una función cualquiera  $f(x)$  la haremos con este modelo:

$$S_n(x) = \frac{a_0}{2} + a_n \cos nx + \sum_{k=1}^{n-1} (a_k \cos kx + b_k \operatorname{sen} kx), \quad (3)$$

con  $n$  «grado» del polinomio trigonométrico.

- El hecho de que las funciones sean ortogonales en el intervalo  $[-\pi, \pi]$  facilita obtener los coeficientes  $a_k$  y  $b_k$  con  $k = 0; 1; 2 \dots, n$ .
- Los coeficientes  $a_k$  los obtenemos con:

$$a_k = \frac{\int_{-\pi}^{\pi} f(x) \cos kx \, dx}{\int_{-\pi}^{\pi} \cos^2 kx \, dx} = \frac{1}{\pi} \int_{-\pi}^{\pi} f(x) \cos kx \, dx, \quad (4)$$

con  $k = 1, 2, \dots, n$ .

## Aproximación con polinomios trigonométricos

- Los coeficientes  $b_k$  los obtenemos con:

$$b_k = \frac{\int_{-\pi}^{\pi} f(x) \operatorname{sen} kx \, dx}{\int_{-\pi}^{\pi} \operatorname{sen}^2 kx \, dx} = \frac{1}{\pi} \int_{-\pi}^{\pi} f(x) \operatorname{sen} kx \, dx, \quad (5)$$

con  $k = 1, 2, \dots, n - 1$ .

- Esto mismo podemos adaptarlo para la aproximación discreta, también en el intervalo  $[-\pi, \pi]$ .
- Podemos efectuar este procedimiento con  $2m$  pares de puntos:

$$\{(x_j, y_j)\}_{j=0}^{2m-1}.$$

- La discretización la haremos con esta distribución:

$$x_j = -\pi + \frac{j}{m}\pi \quad \text{con } j = 0; 1; 2 \dots; 2m - 1. \quad (6)$$

## Aproximación con polinomios trigonométricos

- Como usamos una *Aproximación por Mínimos Cuadrados*, se debe cumplir que:

$$E(S_n) = \sum_{j=0}^{2m-1} [y_j - S_n(x_j)]^2, \quad (7)$$

sea mínimo.

- Al usar funciones ortogonales en  $[-\pi, \pi]$  se cumple que:

$$\sum_{j=0}^{2m-1} \phi_k(x_j) \phi_l(x_j) = 0 \quad \text{con } k \neq l, \quad (8)$$

y que

$$\sum_{j=0}^{2m-1} \phi_k(x_j) \phi_k(x_j) = m. \quad (9)$$

## Aproximación con polinomios trigonométricos

- Con estas propiedades de las funciones trigonométricas en el intervalo visto, podemos calcular los coeficientes  $a_k$  y  $b_k$ :

$$a_k = \frac{1}{m} \sum_{j=0}^{2m-1} y_j \cos kx_j \quad \text{con } k = 0; 1; 2; \dots; n, \quad (10)$$

y

$$b_k = \frac{1}{m} \sum_{j=0}^{2m-1} y_j \operatorname{sen} kx_j \quad \text{con } k = 1; 2; \dots; n - 1. \quad (11)$$

- Si el intervalo es  $[a, b]$  en vez de  $[-\pi, \pi]$ , debemos crear un nuevo conjunto con esta transformación lineal para aplicar el método:

$$z_j = \frac{\pi}{b-a} [2x_j - (a+b)].$$



## Transformada rápida de Fourier

- Si en vez de aproximar un conjunto de puntos discretos mediante un esquema de mínimos cuadrados buscamos interpolar ese mismo conjunto, el procedimiento debe modificarse.
- Para ese fin tomaremos la siguiente función:

$$S_m(x) = \frac{a_0 + a_m \cos mx}{2} + \sum_{k=1}^{m-1} (a_k \cos kx + b_k \operatorname{sen} kx). \quad (12)$$

- Como ahora el modelo es de interpolación, se debe cumplir que:

$$S_m(x_j) = y_j. \quad (13)$$

## Transformada rápida de Fourier

- Así, los coeficientes pueden obtenerse con:

$$a_k = \frac{1}{m} \sum_{j=0}^{2m-1} y_j \cos kx_j \quad \text{con } k = 0; 1; 2; \dots; n, \quad (14)$$

y

$$b_k = \frac{1}{m} \sum_{j=0}^{2m-1} y_j \operatorname{sen} kx_j \quad \text{con } k = 1; 2; \dots; n - 1. \quad (15)$$

- Con estas expresiones se necesitan muchos cálculos para obtener todos los coeficientes.

## Transformada rápida de Fourier

- En 1965, James Cooley y John Tukey ([Cooley & Tukey, 1965]) publicaron un artículo con un algoritmo que reduce la cantidad de cálculos para obtener la función interpolante.
- El algoritmo parte de calcular los coeficientes  $c_k$  complejos en

$$S_m(x) = \frac{1}{m} \sum_{k=0}^{2m-1} c_k e^{ikx}, \quad (16)$$

donde

$$c_k = \sum_{j=0}^{2m-1} y_j e^{ik\pi \frac{j}{m}}, \quad (17)$$

para cada  $k = 0, 1, 2, \dots, 2m - 1$ .

## Transformada rápida de Fourier





- El algoritmo se basa en el siguiente desarrollo:

$$\begin{aligned}
 \frac{1}{m} c_k (-1)^k &= \frac{1}{m} c_k e^{-i\pi k} = \frac{1}{m} \sum_{j=0}^{2m-1} y_j e^{ik\pi \frac{j}{m}} e^{-ik\pi} \\
 &= \frac{1}{m} \sum_{j=0}^{2m-1} y_j e^{ik\pi(-1+\frac{j}{m})} \\
 &= \frac{1}{m} \sum_{j=0}^{2m-1} y_j (\cos kx_j + i \operatorname{sen} kx_j).
 \end{aligned} \tag{18}$$

- Una vez obtenidos los coeficientes  $c_k$ , los coeficientes  $a_k$  y  $b_k$  se obtienen con ayuda de la *Fórmula de Euler*:  $e^{iz} = \cos z + i \operatorname{sen} z$ . Así, tenemos que:

$$a_k + ib_k = \frac{(-1)^k}{m} c_k. \tag{19}$$

## Bibliografía

-  Burden, R. L., Faires, J. D. & Burden, A. M.  
**Análisis Numérico.**  
Décima Edición. CENGAGE Learning, 2016.
-  Cooley, J. W. & Tukey. J. W.  
**An algorithm for the machine calculation of complex Fourier series.**  
Mathematics of Computation. American Mathematical Society, 1965.
-  Trefethen, L. N. & Berrut, J. P.  
**Barycentric Lagrange Interpolation.**  
2004.
-  Higham, N. J.  
**The numerical stability of Barycentric Lagrange Interpolation.**  
IMA. 2004.